

# Evidências Experimentais da Natureza Quântica da Radiação e da Matéria

Instituto de Física  
Universidade de São Paulo

## Difração de Elétrons

Professor:

**Antonio Domingues dos Santos**

A partir de material cedido por Marcelo Munhoz

novembro de 2021

# Hipótese de de Broglie



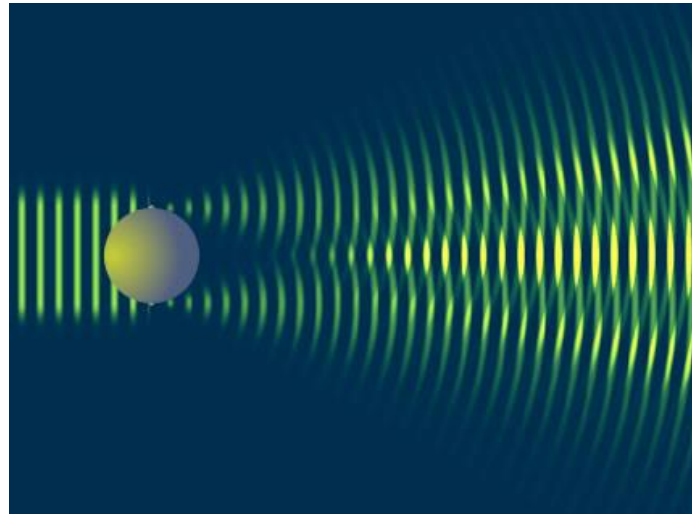
- Em sua tese de doutorado de 1924, Louis de Broglie propõe que, assim como a radiação eletromagnética tem um caráter dual onda-partícula, a matéria também deve apresentar um caráter ondulatório
- Ele propõe que as partículas de matéria também podem ter associadas a elas propriedades ondulatórias (frequência e comprimento de onda), onde:

$$E = h\nu$$

$$p = h/\lambda \Rightarrow \lambda = h/p$$

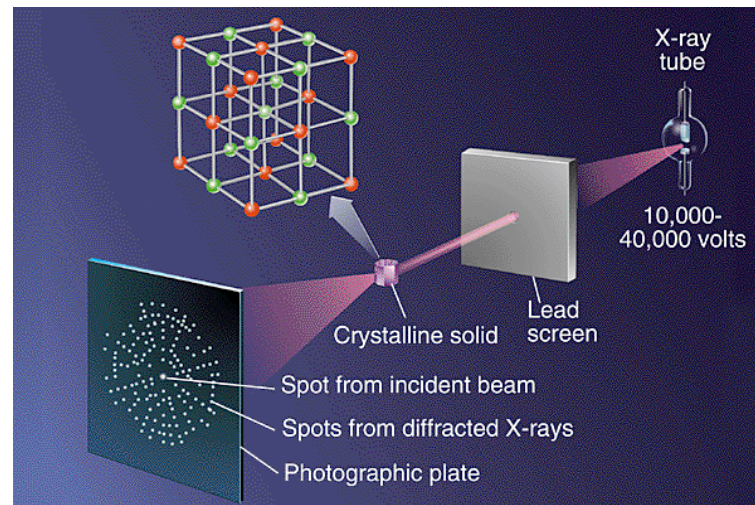
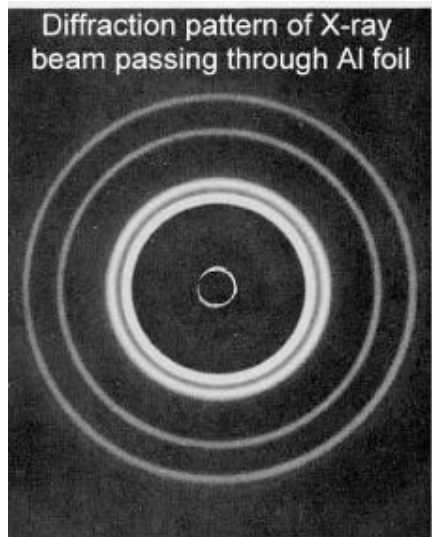
# Difração de elétrons

- Como verificar se a hipótese de de Broglie está correta?
- Podemos tentar observar a difração de elétrons, da mesma forma como observamos a difração da luz ou de raios-X



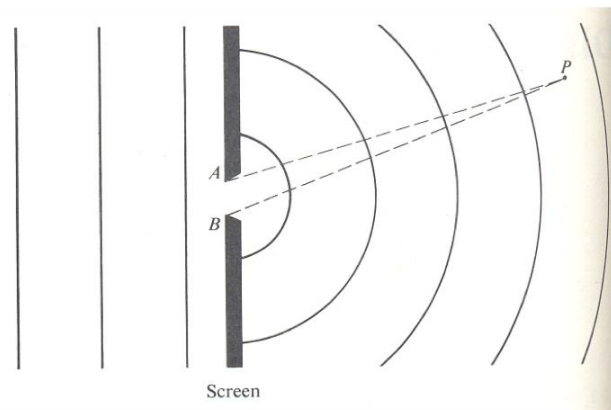
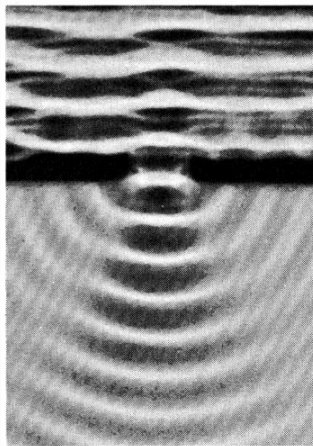
# Difração de elétrons

- Para ocorrer o fenômeno da difração é preciso que a dimensão do “obstáculo óptico” (abertura da fenda, espaçamento em uma rede de difração, etc.) seja da ordem de grandeza do comprimento de onda que se deseja estudar



# Difração de Fraunhofer: espalhamento por um ponto

- Princípio de Huygens-Fresnel
  - “Todo ponto não-obstruído de uma frente de onda, servirá como uma fonte de ondas esféricas secundárias”
  - Neste caso, teremos apenas interferência construtiva



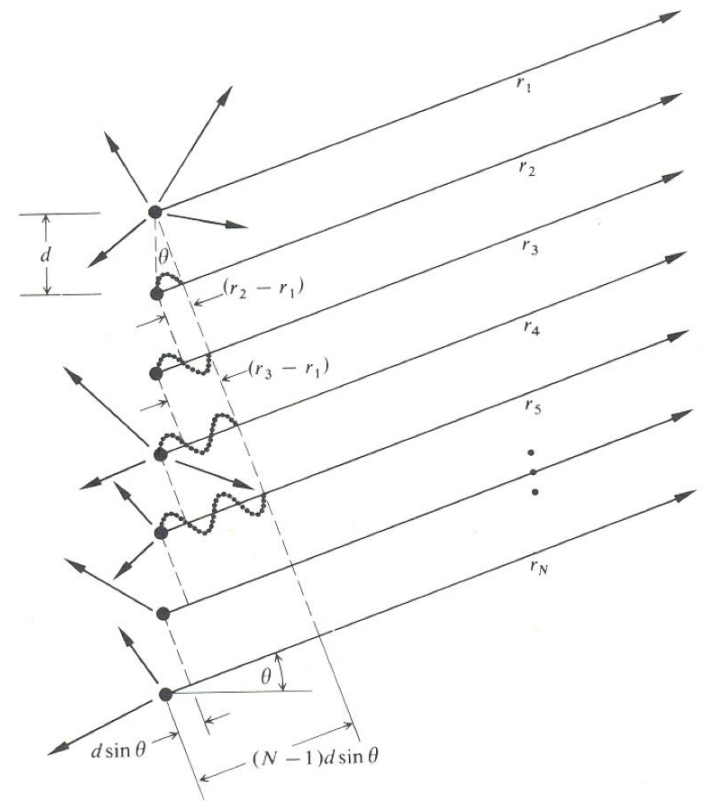
# Difração de Fraunhofer: espalhamento por vários pontos

- Se houver duas ou mais fontes ocorrerá também uma interferência construtiva/destrutiva formando o conhecido padrão de interferência

# Difração de Fraunhofer: espalhamento por vários pontos

- Princípio de Huygens-Fresnel:
  - Haverá interferência construtiva/destrutiva e os pontos de máximo ocorrerão para ângulos de espalhamento dados por:

$$d \cdot \text{sen}(\theta) = n\lambda$$



# Difração de elétrons

- Para o caso de elétrons com 100 eV de energia espera-se, segundo a relação de de Broglie, que:

$$\lambda = \frac{h}{p} = \frac{h}{\sqrt{2mK}} = \frac{6.6 \times 10^{-34} J \cdot s}{\sqrt{2 \cdot 9.1 \times 10^{-31} kg \cdot 100 eV \cdot 1.6 \times 10^{-19} J/eV}} = 1.2 \times 10^{-10} m$$

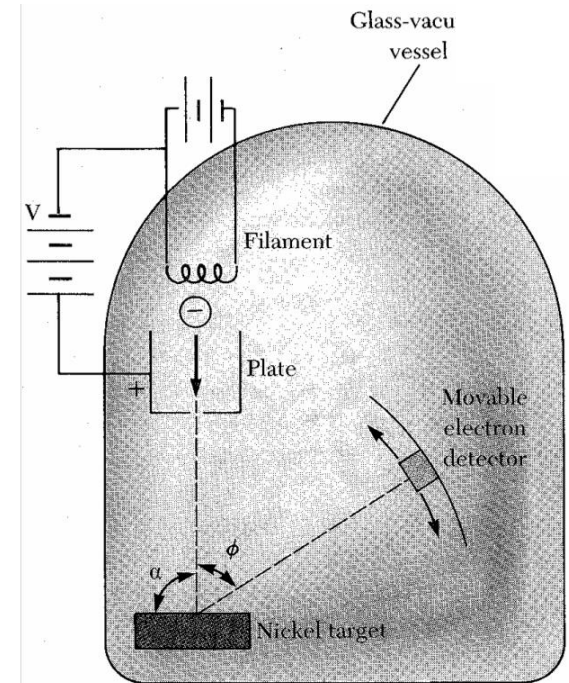
**Numericamente, o comprimento de onda  $\lambda$  em Å pode ser obtido a partir da energia cinética K em eV pela fórmula:**

$$\lambda = \sqrt{150/K}$$



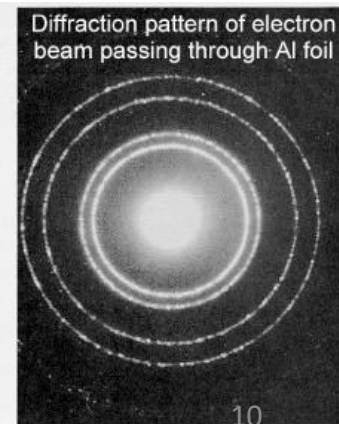
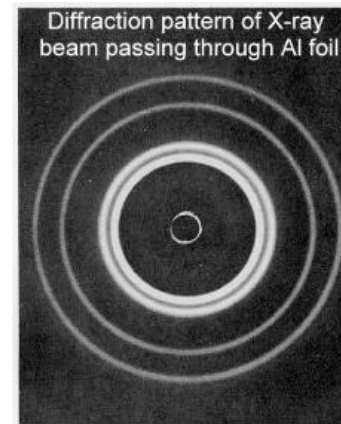
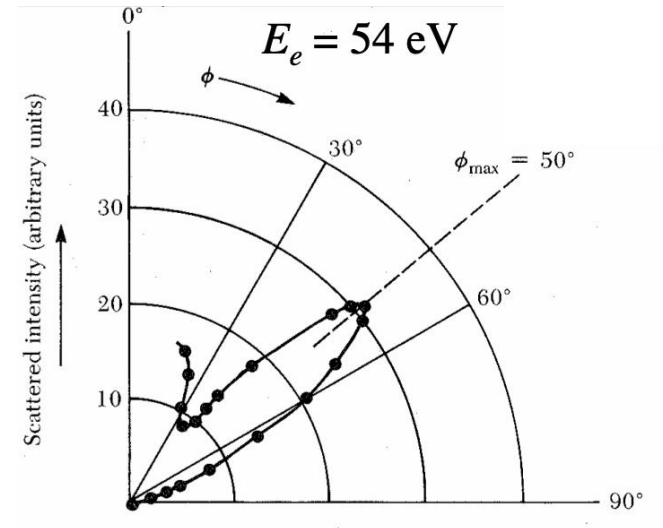
# Difração de elétrons

- Clinton J. Davisson e Lester H. Germer realizaram um experimento que demonstrou a difração de elétrons em 1927
- Eles estudaram a quantidade de elétrons que eram espalhados em uma superfície de Ni em função do ângulo de espalhamento



# Difração de elétrons

- Eles observaram que, para elétrons com energia de 54 eV, a quantidade de elétrons espalhados apresentava picos em função do ângulo, como no caso de uma figura de difração
- O primeiro pico se encontrava em 50°



# Difração de elétrons

- Portanto, o comprimento da onda difratada nesse caso é dado por

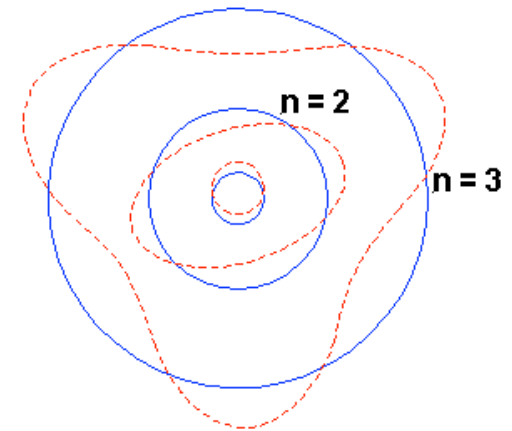
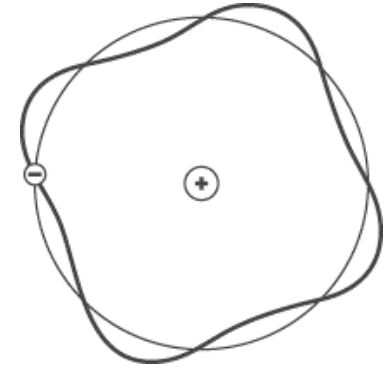
$$\lambda = d \cdot \text{sen}(\theta) = 2.15 \times 10^{-10} m \cdot \text{sen}(50^\circ) = 1.65 \times 10^{-10} m$$

- Por outro lado, o comprimento de onda esperado para esses elétrons é:

$$\lambda = \frac{h}{p} = \frac{h}{\sqrt{2mK}} = \frac{6.6 \times 10^{-34} J \cdot s}{\sqrt{2 \cdot 9.1 \times 10^{-31} kg \cdot 54 eV \cdot 1.6 \times 10^{-19} J/eV}} = 1.67 \times 10^{-10} m$$

# Quantização de Bohr

- Diante dessa visão ondulatória do elétron, o modelo de Bohr pode ser reinterpretado
- A quantização do momento angular pode ser visto como consequência do elétron se comportar como uma onda estacionária
- Animação:  
<https://phet.colorado.edu/en/simulation/legacy/hydrogen-atom>



# Regra de Quantização de Wilson e Sommerfeld

- Em 1916, Wilson e Sommerfeld propuseram a seguinte regra de quantização de sistemas físicos:
- “Para qualquer sistema físico no qual as coordenadas são funções periódicas do tempo, existe uma condição quântica para cada coordenada. Estas condições quânticas são

$$\oint p_q dq = n_q h$$

onde  $q$  é uma das coordenadas,  $p_q$  é o momento associado a essa coordenada,  $n_q$  é um número quântico que toma apenas valores inteiros, e a integração é tomada sobre um período da coordenada  $q$ ”

# Propriedades ondulatórias da matéria

- Se as partículas que constituem a matéria (como os elétrons) possuem propriedades ondulatórias, como podemos descrever um elétron então?
- **O que seria essa “onda” que constitui o elétron? O elétron é uma onda se propagando em que meio?**
- Como descrever essa “onda” do elétron matematicamente?

# Dualidade Onda-Partícula

- A mesma idéia da dualidade onda-partícula da radiação eletromagnética é válida para a matéria
- Bohr elaborou o Princípio da complementaridade:
  - “o caráter ondulatório e o corpuscular da natureza são complementares, isto é, ou se observa a manifestação do comportamento ondulatório de um sistema físico ou do comportamento corpuscular, nunca os dois simultaneamente”

# Dualidade Onda-Partícula

- Max Born introduziu uma interpretação probabilística para a dualidade onda-partícula
- Como no caso da radiação eletromagnética, podemos descrever a propagação da matéria a partir de uma abordagem ondulatória
- Essa onda, chamada de *função de onda* e representada pela letra grega  $\Psi$ , determina a **probabilidade** da partícula ser observada em uma certa posição em um certo instante de tempo



# Interpretação probabilística

- A intensidade da **radiação** eletromagnética está associada à amplitude ao quadrado do campo eletromagnético e, ao mesmo tempo, ao número de fótons
- Einstein interpretou essa amplitude ao quadrado do campo eletromagnético como uma medida do número médio de fótons por unidade de volume
- Da mesma forma, a intensidade ao quadrado da função de onda  $|\Psi|^2$  determina o número de partículas de um sistema físico, ou a **probabilidade** de encontrar uma partícula em uma certa posição em um dado instante de tempo

# Interpretação probabilística

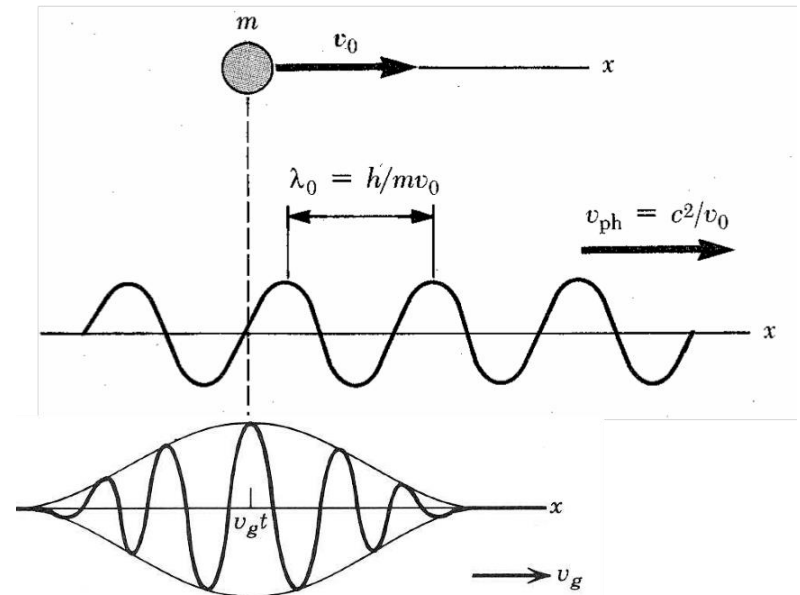
- Portanto, segundo essa interpretação, só podemos determinar um comportamento probabilístico para as partículas de matéria, a partir de sua função de onda
- Apesar dos observáveis (posição e momento, por exemplo) terem um caráter probabilístico (não-determinístico), a função de onda tem um comportamento que pode ser determinado de maneira exata

# Propriedades ondulatórias da matéria

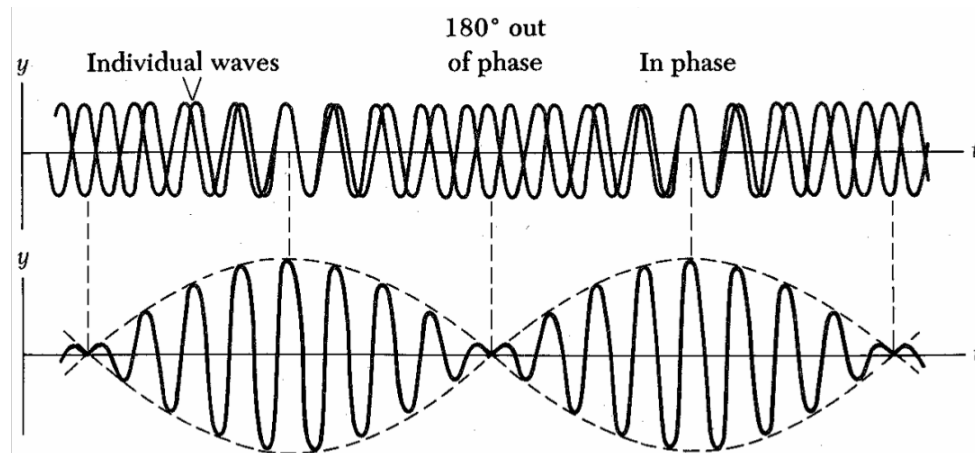
- Se as partículas que constituem a matéria (como os elétrons) possuem propriedades ondulatórias, como podemos descrever um elétron então?
- O que seria essa “onda” que constitui o elétron? O elétron é uma onda se propagando em que meio?
- **Como descrever essa “onda” do elétron matematicamente?**

# Propriedades ondulatórias da matéria

- Para representar uma partícula, devemos utilizar uma onda “localizada” no espaço, ou seja, um “pacote de ondas”, cuja velocidade de grupo coincide com a velocidade da partícula



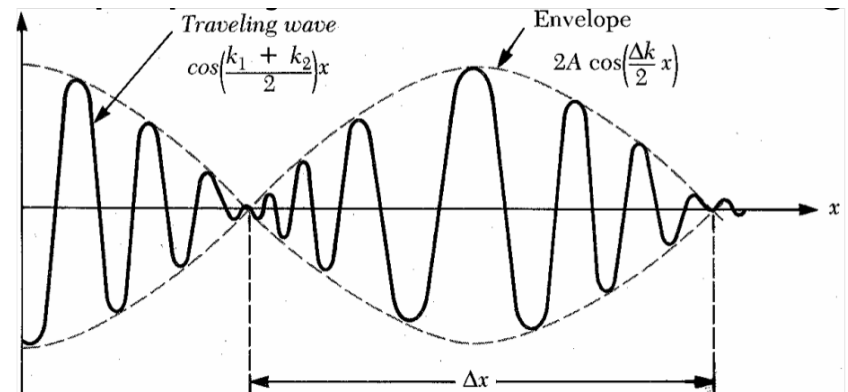
# Propriedades ondulatórias da matéria



- Um pacote de ondas é obtido a partir da combinação de várias ondas de frequências diferentes
- Neste exemplo, duas ondas de frequências próximas se combinam resultando em vários pacotes ou grupos de onda

# Propriedades ondulatórias da matéria

- Na realidade, a onda resultante corresponde a uma onda de frequência maior “envolta” por uma onda de frequência menor
- O pacote de onda apresenta uma relação entre sua largura e os comprimentos de onda que o compõe:



$$\Delta k \cdot \Delta x = 2\pi$$

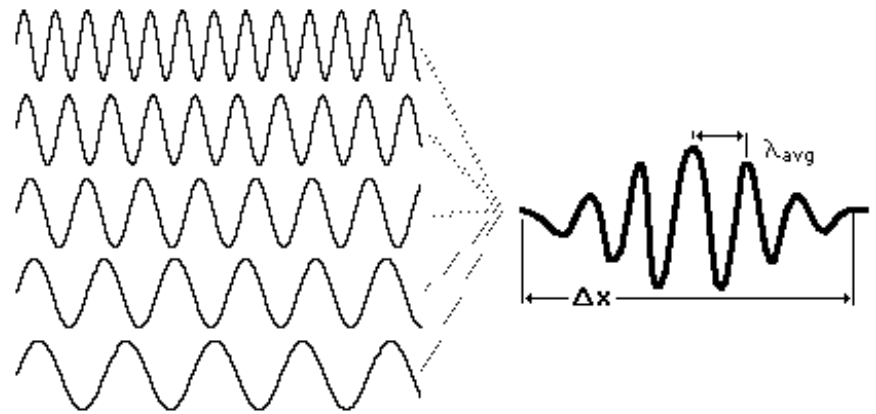
# Propriedades ondulatórias da matéria

- Integral de Fourier:  
para se construir um  
pacote de onda é  
preciso combinar  
muitas frequências,  
ou seja:

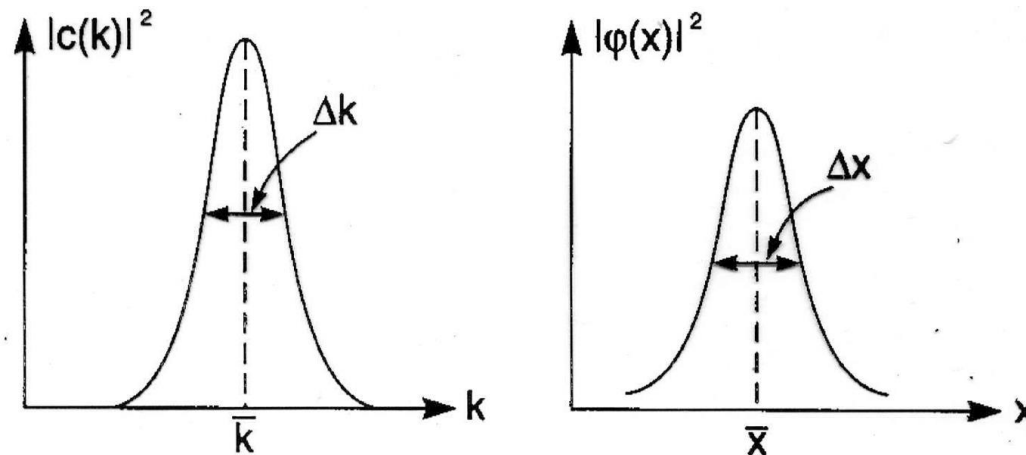
$$\Psi = \sum_{i=0}^N A_i \cos(k_i x - \omega_i t)$$

- que no limite do  
contínuo resulta em:

$$\Psi = \int_{-\infty}^{\infty} A(k) \cos(kx - \omega t) dk$$



# Propriedades ondulatórias da matéria



- Quanto mais estreito o pacote de onda, uma maior dispersão de comprimentos de onda é necessária e vice-versa, sendo que pode-se mostrar pelas integrais de Fourier que:

$$\Delta k \cdot \Delta x \geq 1/2$$

- Animação: <http://phys.educ.ksu.edu/vqm/html/wpe.html>



# Princípio da Incerteza



- Em 1927, Werner Heisenberg propõe o “Princípio da Incerteza” que diz que é impossível determinar simultaneamente a posição e o momento de uma partícula. Matematicamente:

$$\Delta p \cdot \Delta x \geq \hbar/2$$

- É importante enfatizar que a limitação imposta por esse princípio não diz respeito à instrumentação necessária para se fazer esta medida, mas é uma característica intrínseca da natureza

# Princípio da Incerteza

- A relação de dispersão entre os comprimentos de onda que compõe o pacote de onda e sua largura leva ao princípio da incerteza

$$\Delta k \cdot \Delta x \geq 1/2 \Rightarrow \Delta p \cdot \Delta x \geq \hbar/2$$

pois,

$$k = 2\pi/\lambda = 2\pi \cdot p/h = p/\hbar$$

- Quanto mais bem definida a posição de uma partícula (pacote de onda mais estreito), menos definido será o momento dessa partícula (uma combinação maior de comprimentos de onda, e portanto de momentos, é necessário)

# Princípio da Incerteza

- O Princípio da Incerteza também pode ser enunciado em termos da energia e do tempo.
- Das propriedades do pacote de onda, tem-se que:

$$\Delta\omega \cdot \Delta t \geq 1/2$$

- como

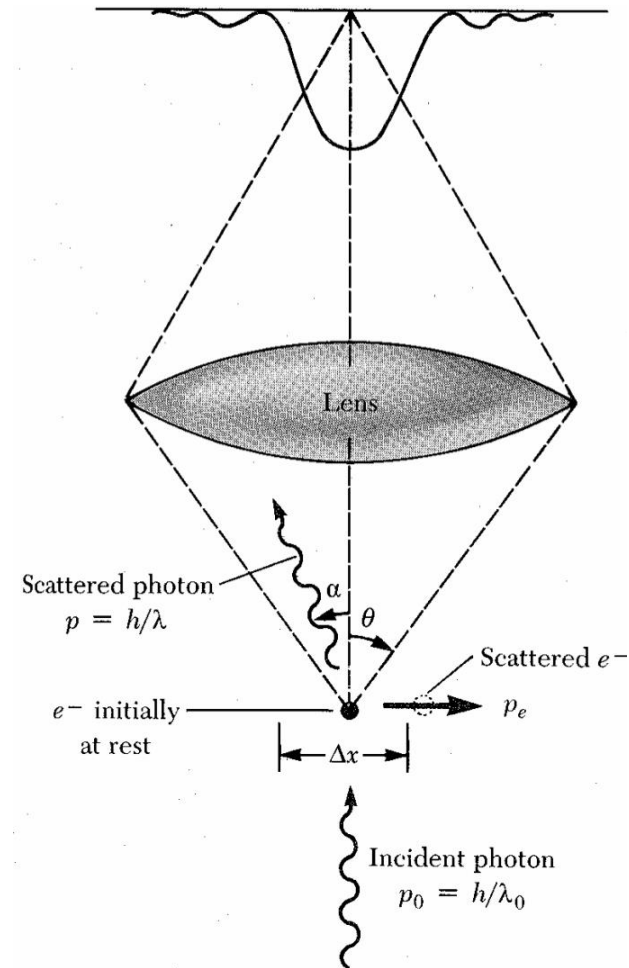
$$E = h\nu = h \cdot \omega/2\pi = \hbar\omega$$

- portanto:

$$\Delta E \cdot \Delta t \geq \hbar/2$$

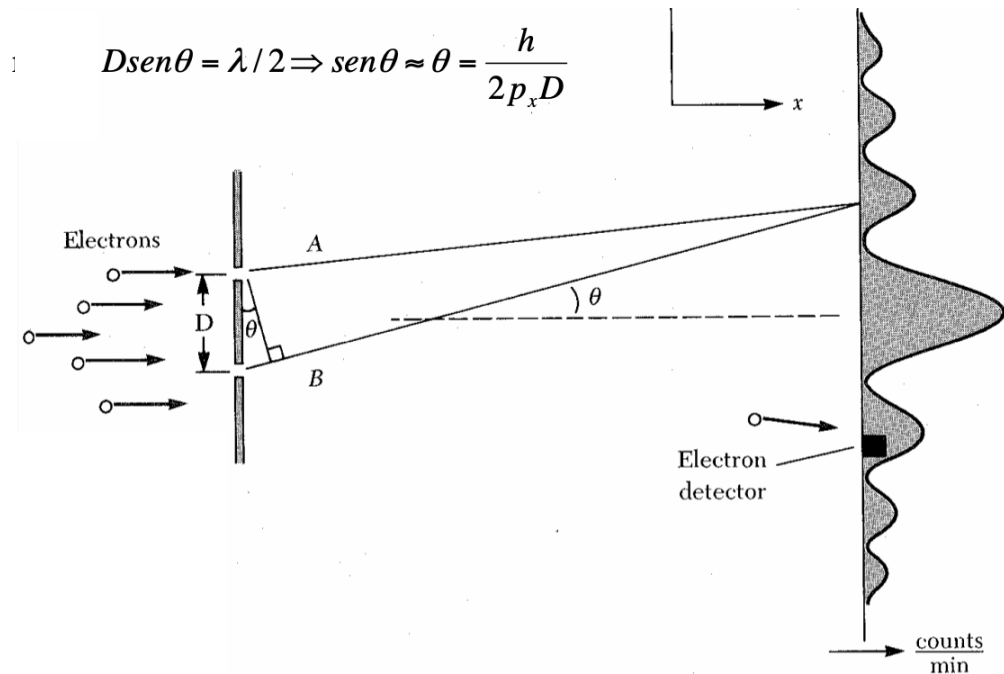
# Princípio da Incerteza

- O Princípio da incerteza pode ser interpretado fisicamente através do experimento imaginário (gedanken) proposto pelo próprio Heisenberg, que corresponde à medida da posição de um elétron através de um microscópio ideal



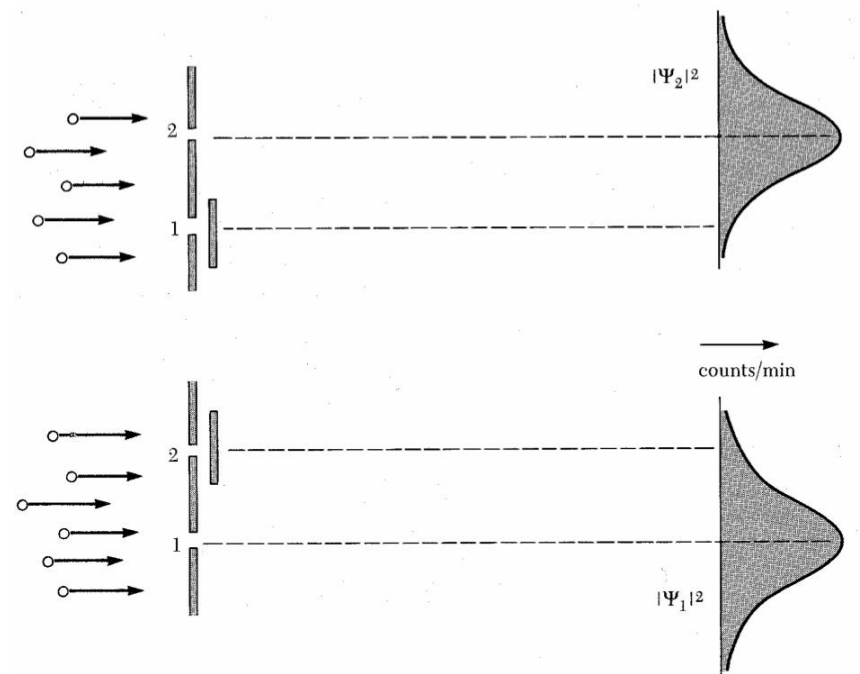
# Experimento da fenda dupla

- Um feixe de elétrons incidindo em um sistema de fendas duplas apresenta o padrão de interferência ondulatório em um aparato colocado em frente às fendas, mesmo que façamos incidir um elétron por vez nas fendas



# Experimento da fenda dupla

- Podemos agora interpretar o que acontece no experimento da fenda dupla com elétrons a partir da idéia da função de onda
- Se fecharmos uma das fendas, medimos  $|\Psi_1|^2$  ou  $|\Psi_2|^2$  que é o mesmo resultado que obteríamos para um sistema físico composto exclusivamente de partículas



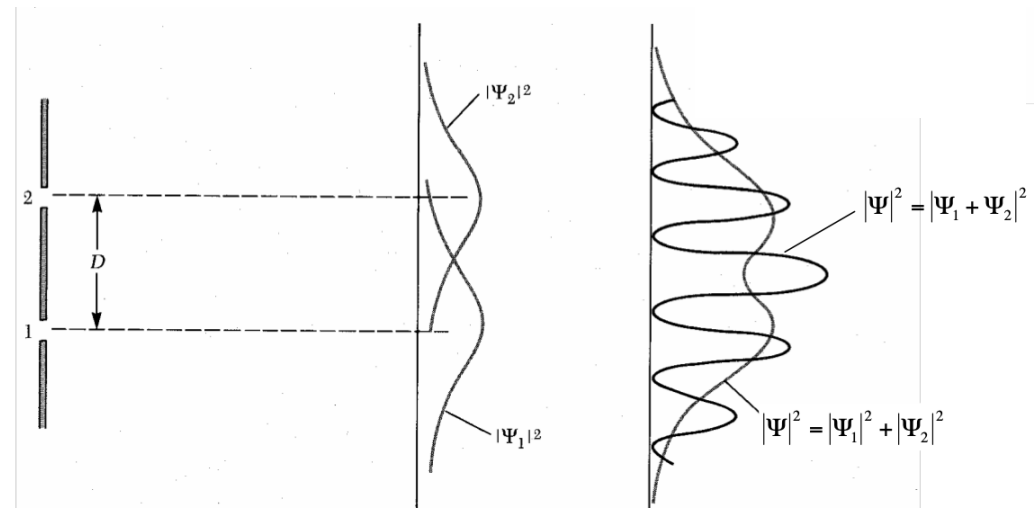
# Experimento da fenda dupla

- Portanto, se o elétron se comportasse como partícula teríamos a distribuição correspondente a

$$|\Psi_1|^2 + |\Psi_2|^2$$

- Como ele se comporta como uma onda, temos

$$|\Psi_1 + \Psi_2|^2$$



# Experimento da fenda dupla

- É possível determinar por qual fenda o elétron passou?
- Para isso, precisamos detetar o elétron através da interação de uma partícula (um fóton, por exemplo)
- Isso gera uma variação no momento do elétron dada por:

$$\frac{\Delta p_y}{p_x} \ll \theta = \frac{h}{2p_x D} \Rightarrow \Delta p_y \ll \frac{h}{2D}$$

- Por outro lado, precisamos que:  $\Delta y \ll D$
- Essas duas condições levam a  
que é uma violação do princípio de incerteza

$$\Delta p_y \Delta y \ll \frac{h}{2D} \cdot D = \frac{h}{2}$$



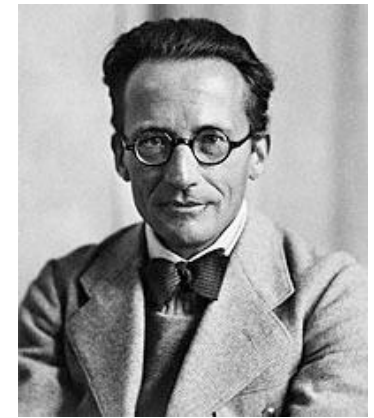
# Limitações da “Antiga” Teoria Quântica

- A teoria só trata de sistemas periódicos (regra de quantização de Wilson-Sommerfeld)
- Não é capaz de prever a taxa de transição entre estados quânticos
- É bem sucedida apenas na descrição de átomos de um único elétron
- Apresenta “lacunas conceituais”

# Limitações da “Antiga” Teoria Quântica

- A hipótese de de Broglie associa propriedades ondulatórias com a matéria mas não diz como essas propriedades evoluem no tempo e espaço, ou seja, não determina de maneira exata a função de onda
- Ela também não diz como tratar sistemas em que o comprimento de onda não é constante, ou seja, quando forças estão presentes no sistema físico em estudo
- E não fornece uma relação quantitativa entre todas as propriedades ondulatórias (função de onda) e as propriedades corpusculares (observáveis) das partículas

# Teoria de Schroedinger



- Em 1925, Erwin Schroedinger desenvolve uma teoria para descrever o comportamento das funções de onda
- Ele propõe uma equação que permite obter a forma matemática da função de onda.
- Essa equação depende do potencial, isto é, das forças presentes no problema em questão
- Essa equação não pode ser deduzida, mas podemos dar um “palpite bem fundamentado” e verificar se ele descreve bem a natureza

# Teoria de Schroedinger

- Essa equação deve ser consistente com as hipóteses de Einstein e de Broglie
- Ela deve reproduzir a conservação de energia
- Deve ser linear, para contemplar o princípio da superposição



Próxima disciplina

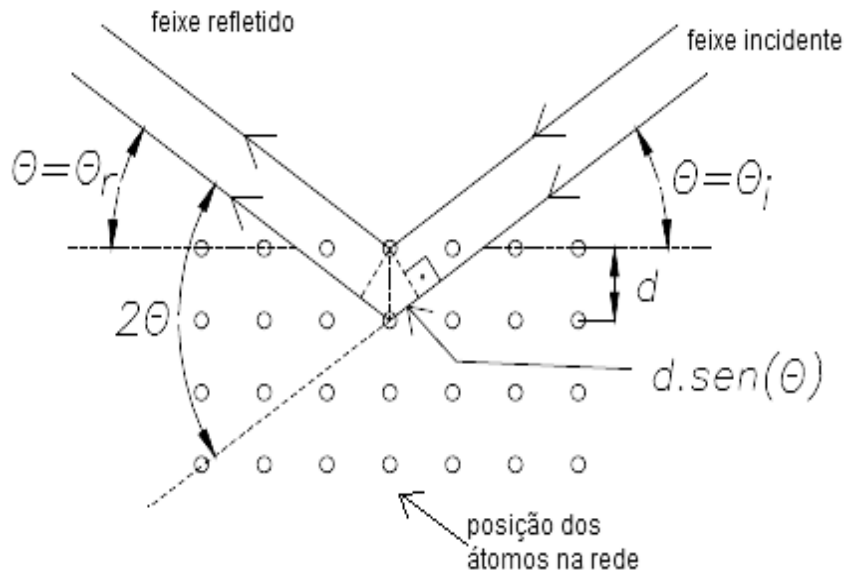


# Difração de elétrons

## Parte Experimental

Usaremos estruturas cristalinas como objetos difratantes.

# Difração de RX em cristais



- **Lei de Bragg**  $n\lambda = 2d \text{sen}\theta$   $n = \text{ordem de difração}$

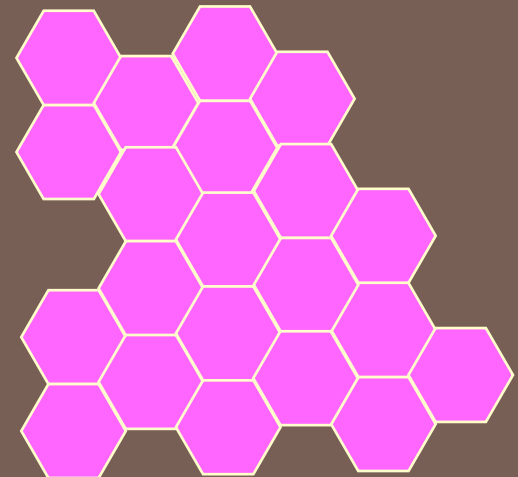
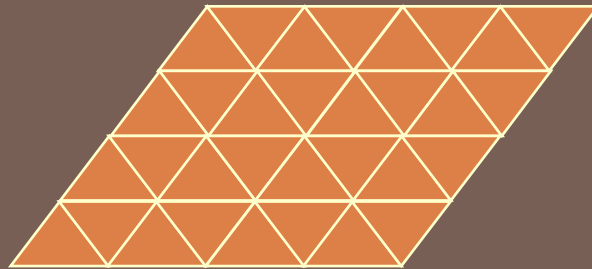
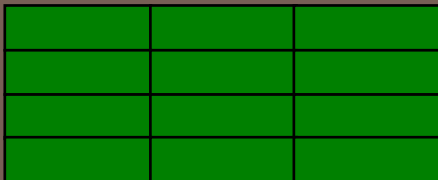
Lembre que  $E = hc/\lambda$

# What is a Crystal

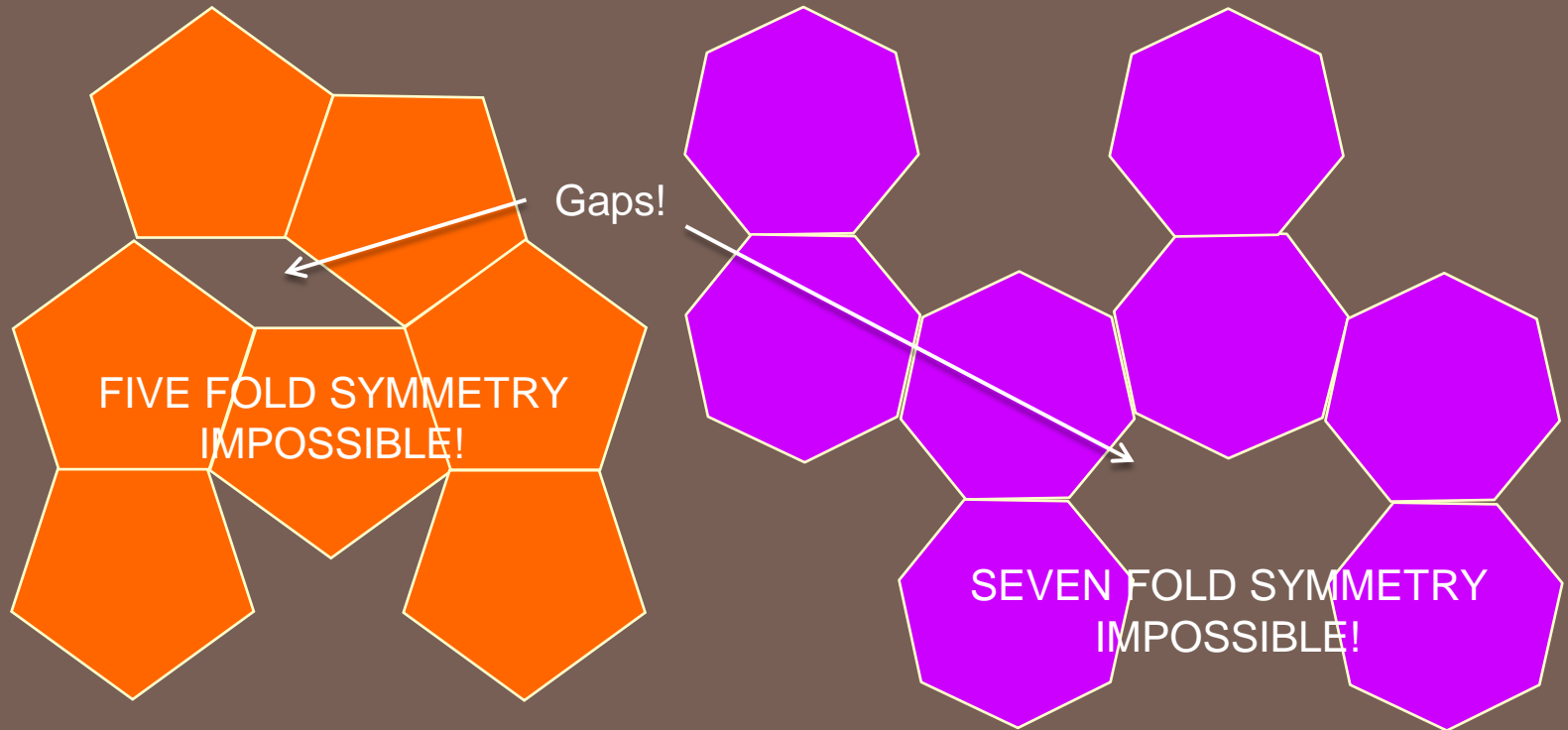
In Crystals,

Atoms or atomic clusters repeat periodically, analogues to a tessellation in 2D constructed from a single type of tile

Try tiling the plane with identical units! Only 2, 3, 4 and 6 fold symmetries are possible.



# Other rotations are forbidden!

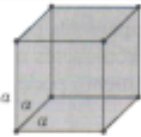
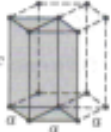

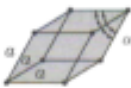
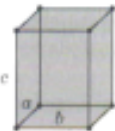
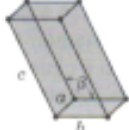
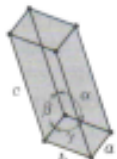


Crystallographic Restriction Theorem

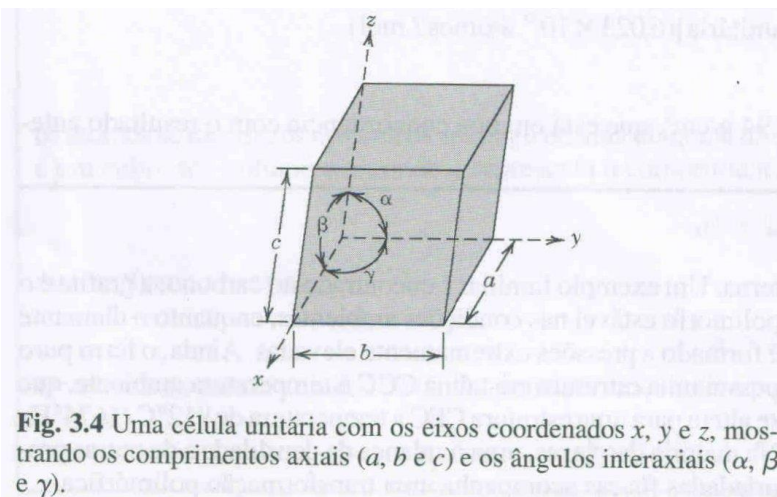


## Estrutura cristalina

Tabela 3.2 Relações entre os Parâmetros de Rede e Figuras Mostrando as Geometrias das Células Unitárias para Sete Sistemas Cristalinos

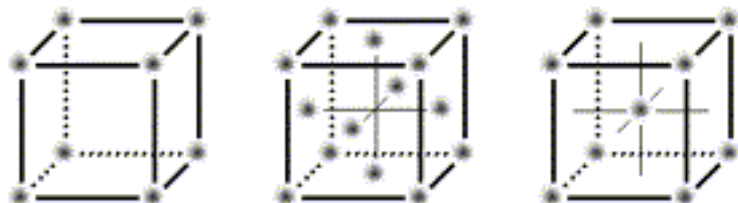
Sistema Cristalino	Relações Axiais	Ângulos Interaxiais		Geometria da Célula Unitária
Cúbico	$a = b = c$	$\alpha = \beta = \gamma = 90^\circ$	<b>3</b>	
Hexagonal	$a = b \neq c$	$\alpha = \beta = 90^\circ, \gamma = 120^\circ$	<b>1</b>	
Tetragonal	$a = b \neq c$	$\alpha = \beta = \gamma = 90^\circ$	<b>2</b>	
Romboédrico	$a = b = c$	$\alpha = \beta = \gamma \neq 90^\circ$	<b>1</b>	
Ortorrômbico	$a \neq b \neq c$	$\alpha = \beta = \gamma = 90^\circ$	<b>4</b>	
Monoclínico	$a \neq b \neq c$	$\alpha = \gamma = 90^\circ \neq \beta$	<b>2</b>	
Triclínico	$a \neq b \neq c$	$\alpha \neq \beta \neq \gamma \neq 90^\circ$	<b>1</b>	

## Tipos de redes cristalinas

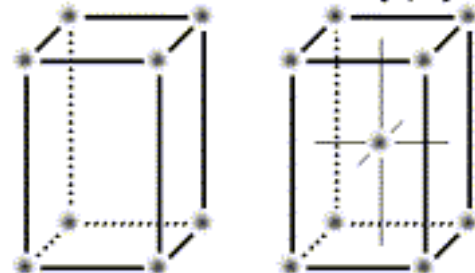


**AS 14 REDES DE BRAVAIS**

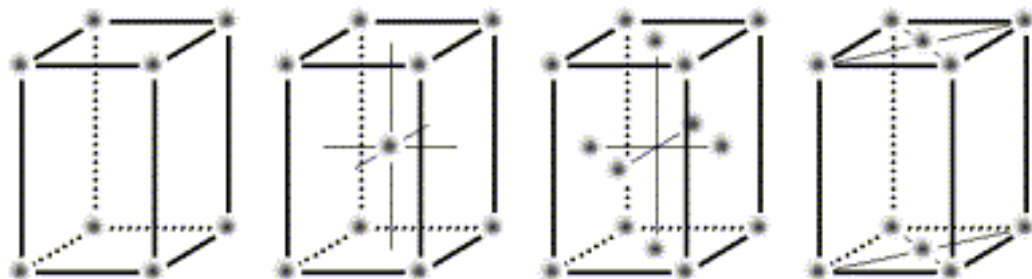
**CUBICA (P, F, I)**



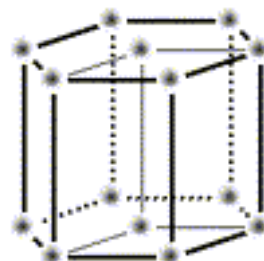
**TETRAGONAL (P, I)**



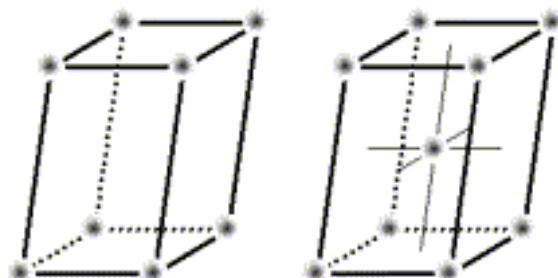
**ORTORRÓMBICA (P, I, F, C)**



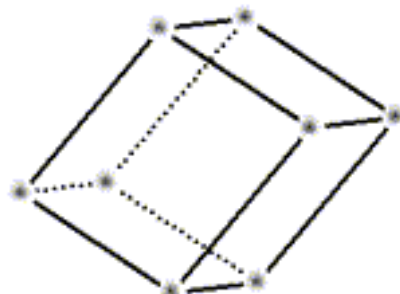
**TRIGONAL /  
HEXAGONAL P**



**MONOCLÍNICA (P, C)**



**TRICLÍNICA**



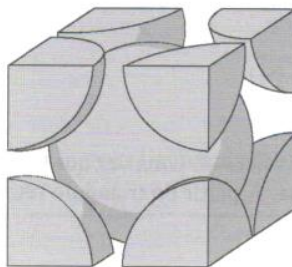
**TRIGONAL**



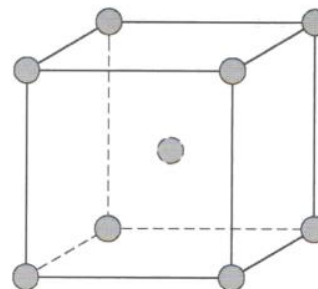
## Estrutura cristalina

Rede cúbica de  
corpo centrado

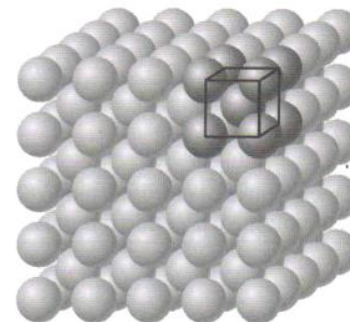
Célula unitária com  
esferas rígidas



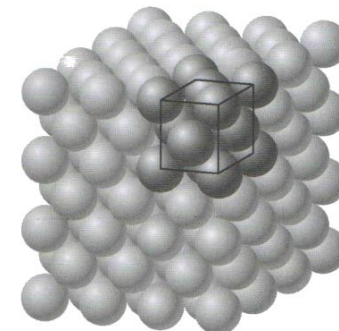
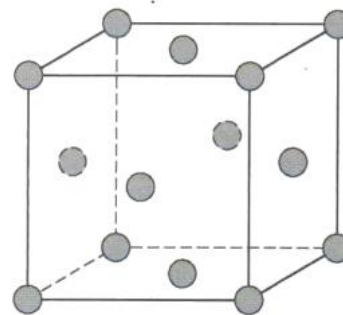
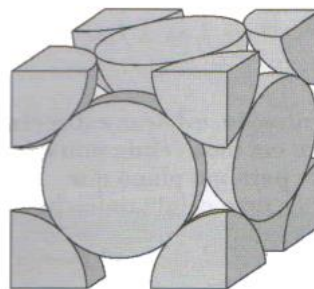
Célula unitária com  
esferas reduzidas



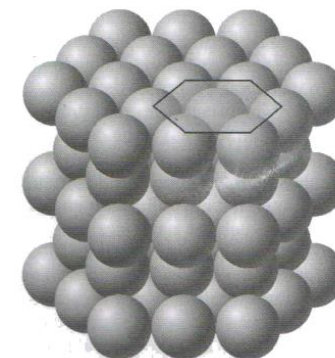
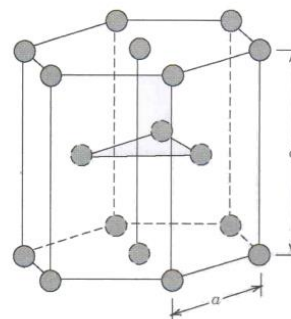
Agregado com  
muitos átomos



Rede cúbica de  
face centrada



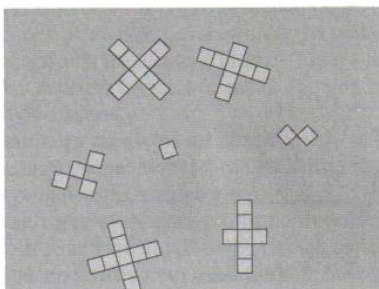
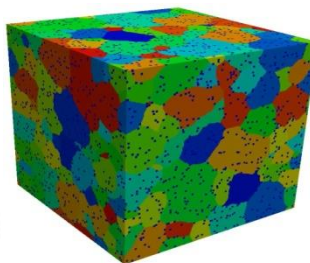
Rede hexagonal  
compacta



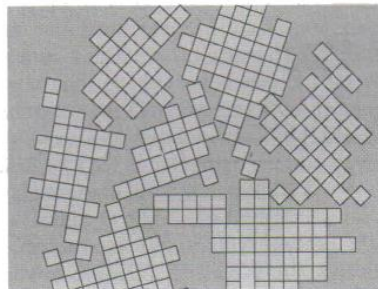
# Estrutura cristalina

# policristais

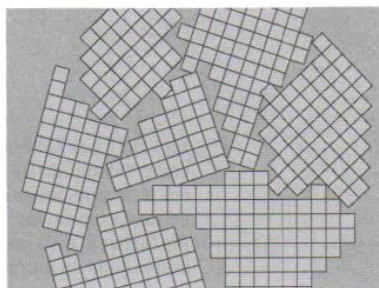
## Estágios de solidificação de um material policristalino



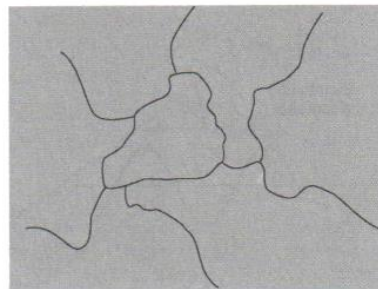
(a)



(b)

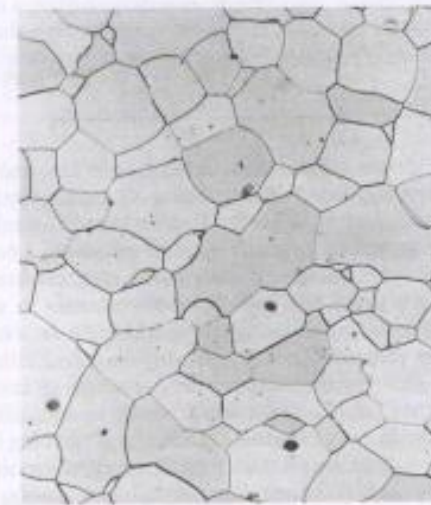
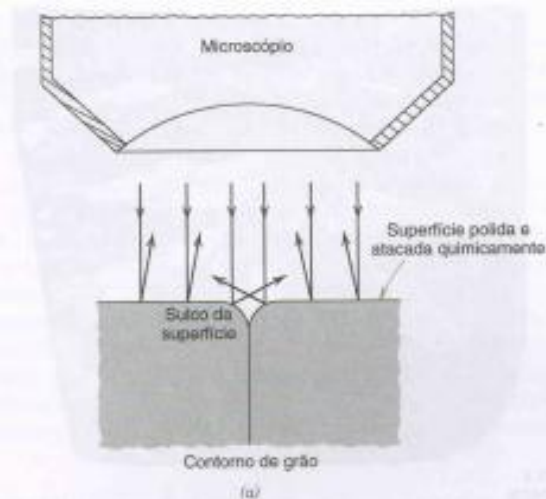


(c)



(d)

## Técnica de observação de contornos de grãos



## Aço "elétrico" (p/ motores)



Um lingote de chumbo policristalino de elevada pureza.

## Estrutura cristalina

### Difração de Raios X e Determinação de Estruturas Cristalinas

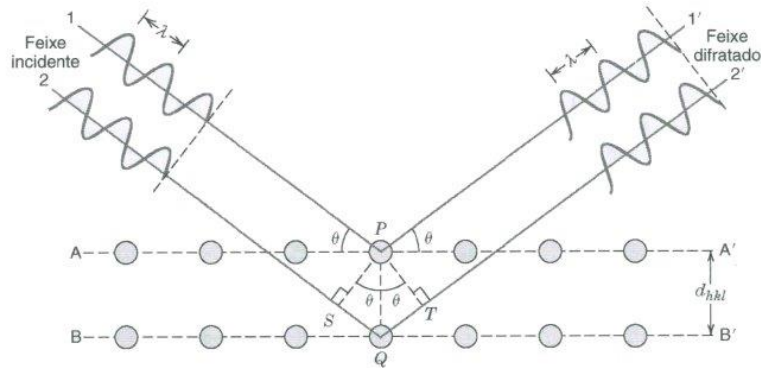


Fig. 3.18 Difração de raios X por planos de átomos (A-A' e B-B').

### Difração nas variações da densidade eletrônica e Lei de Bragg

$$n\lambda = 2d_{hkl} \sin\theta$$

Onde, para uma rede cúbica:

$$d_{hkl} = \frac{a}{\sqrt{h^2 + k^2 + l^2}}$$

### Técnica de Medida

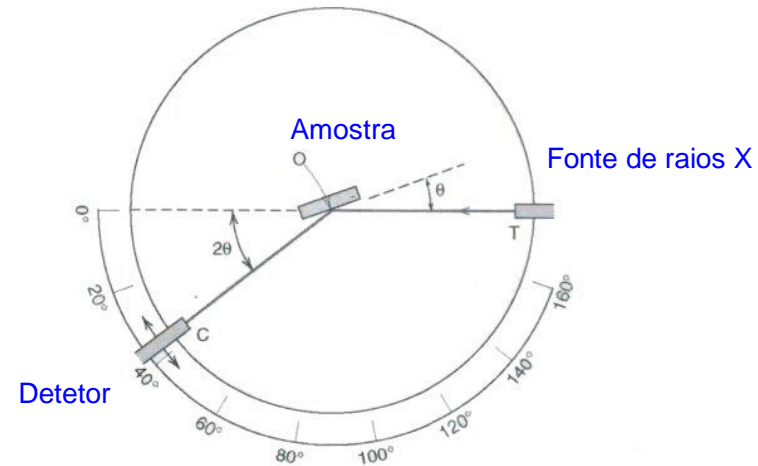


Fig. 3.19 Diagrama esquemático de um difratômetro de raios X; T = fonte de raios X, A = amostra, C = detector e O = o eixo em torno do qual a amostra e o detector giram.

- 1) Geometria simétrica ( $\theta$ - $2\theta$ ), onde visualizam-se planos cristalinos paralelos à superfície da amostra.
- 2) Geometrias assimétricas, em geral para aplicações específicas.

# Estrutura cristalina

## Difração de Raios X e Determinação de Estruturas Cristalinas

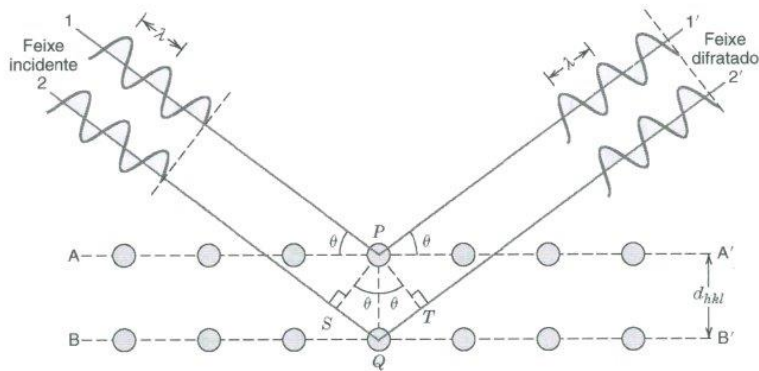


Fig. 3.18 Difração de raios X por planos de átomos (A-A' e B-B').

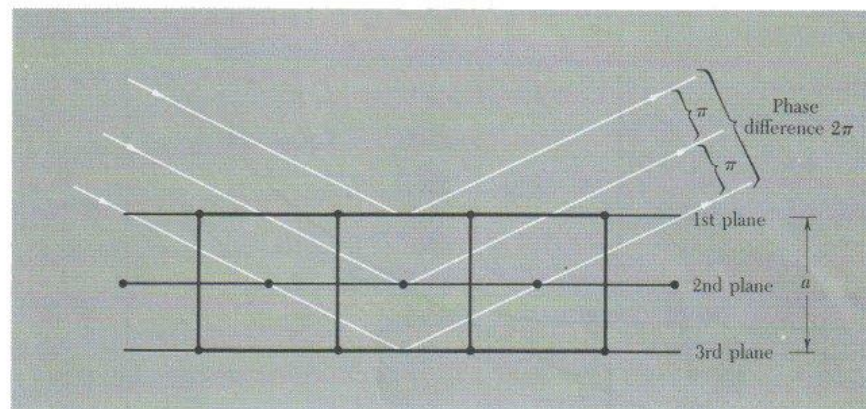


Figure 16 Explanation of the absence of a (100) reflection from a body-centered cubic lattice. The phase difference between successive planes is  $\pi$ , so that the reflected amplitude from two adjacent planes is  $1 + e^{-i\pi} = 1 - 1 = 0$ .

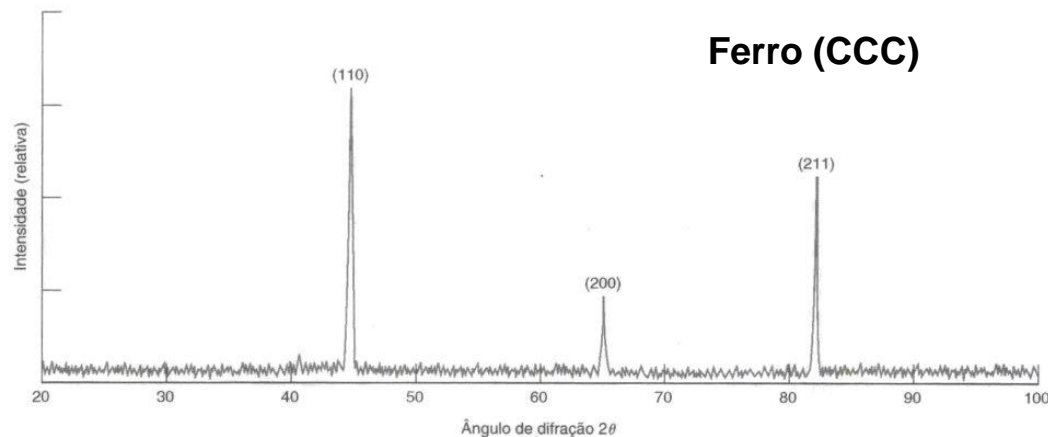
Para rede **CCC**, valores possíveis para (hkl) são tais que **h+k+l= inteiro par**

## Difração nas variações da densidade eletrônica e Lei de Bragg

$$n\lambda = 2d_{hkl} \text{sen}\theta$$

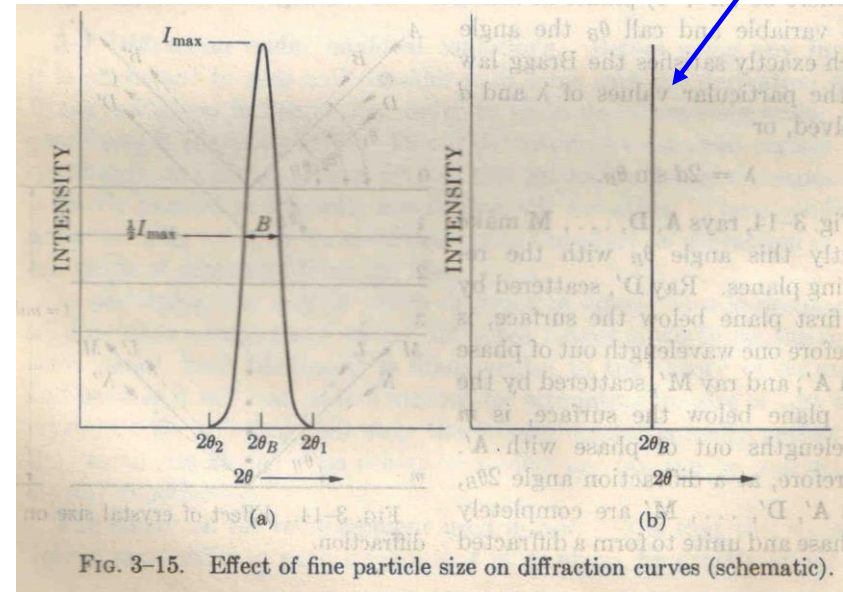
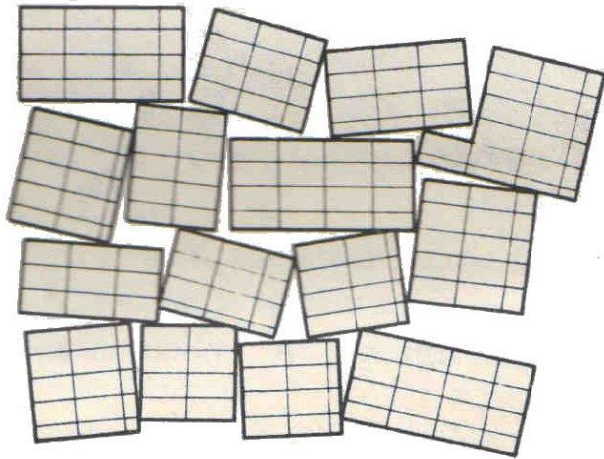
Onde, para uma rede cúbica:

$$d_{hkl} = \frac{a}{\sqrt{h^2 + k^2 + l^2}}$$



## Estrutura cristalina

### Difração de Raios X e Fórmula de Scherrer



Monocristal infinito

Fórmula de Scherrer

$$t = \frac{0,9\lambda}{B \cos \theta_B}$$

Onde,  $t$  é a tamanho do grão e  $B$  é a dispersão angular do pico de difração.

Exemplo: considere

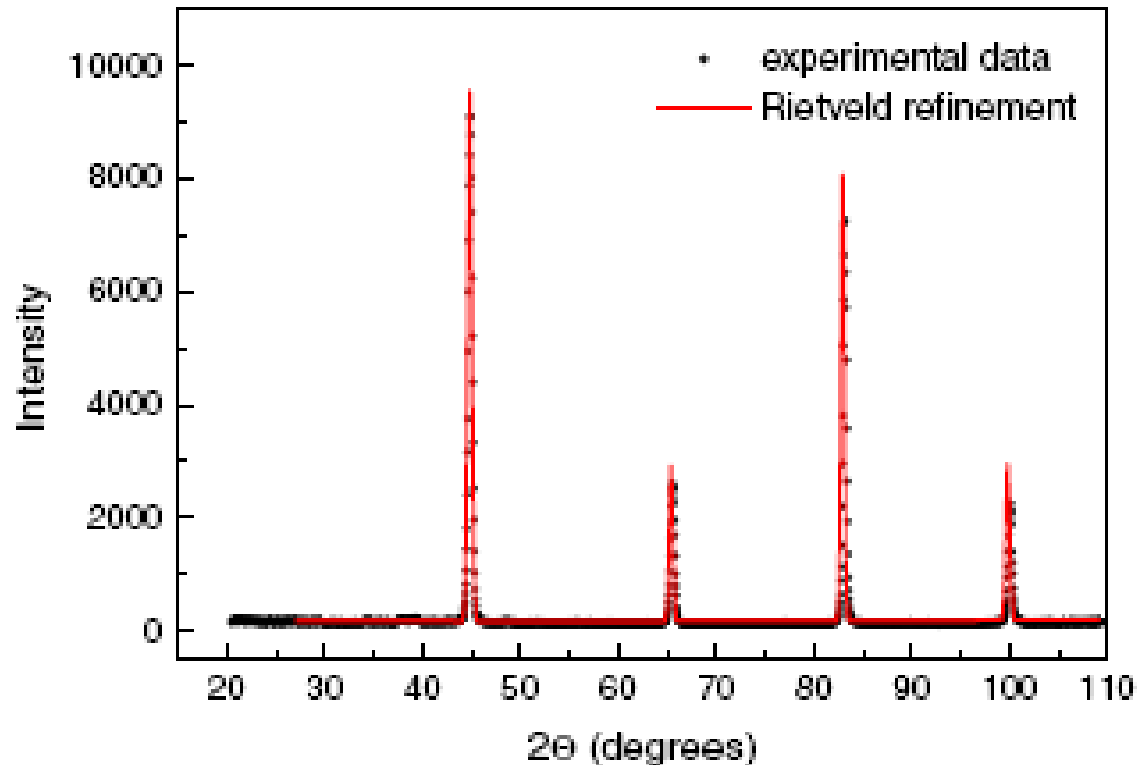
$\lambda = 1,5 \text{ \AA}$ ,  $\theta = 49^\circ$  e  
a espessura do  
grão =  $500 \text{ \AA}$ .

Calcule a dispersão  
angular.

$$B = 4 \times 10^{-3} \text{ rad} = 0,2^\circ$$

## Estrutura cristalina

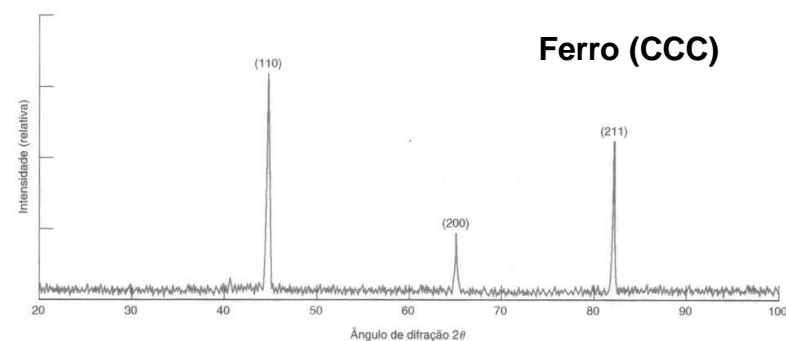
## Difração de neutrons



Material:  
Aço Eurofer (CCC)

Fig. 1. Neutron diffraction data from Eurofer 97. The continuous line is a fit to the data after Rietveld refinement.

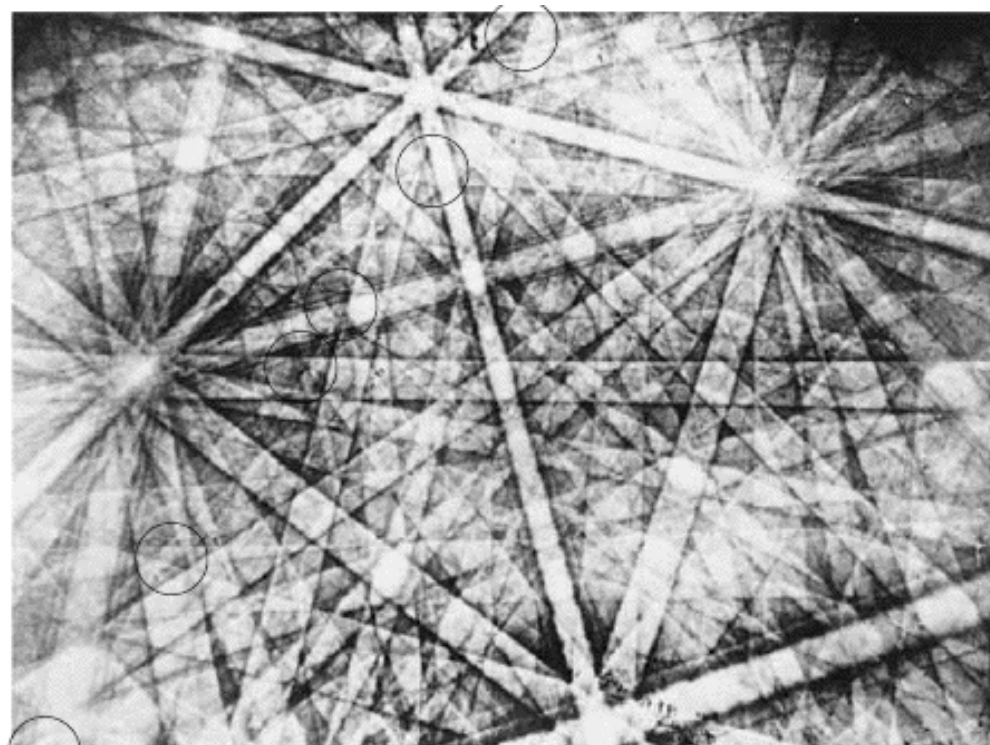
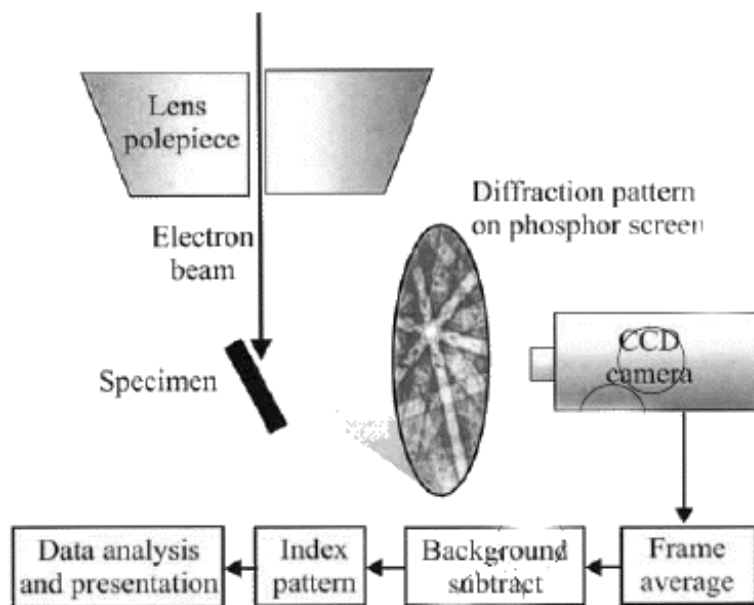
Para rede **CCC**, valores possíveis para (hkl)  
são tais que  **$h+k+l = \text{inteiro par}$**





## Estrutura cristalina

### EBSD (Difração retro-espalhada de elétrons)



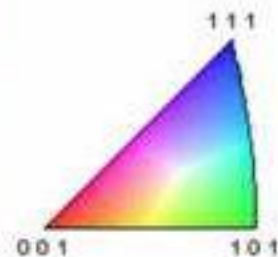
EBSD de germânio

## Estrutura cristalina



### EBSD (Difração de elétrons por retroespalhamento)

Esta técnica utiliza um microscópio eletrônico de verredura.



Material: Aço Eurofer (CCC)

# Difração de elétrons

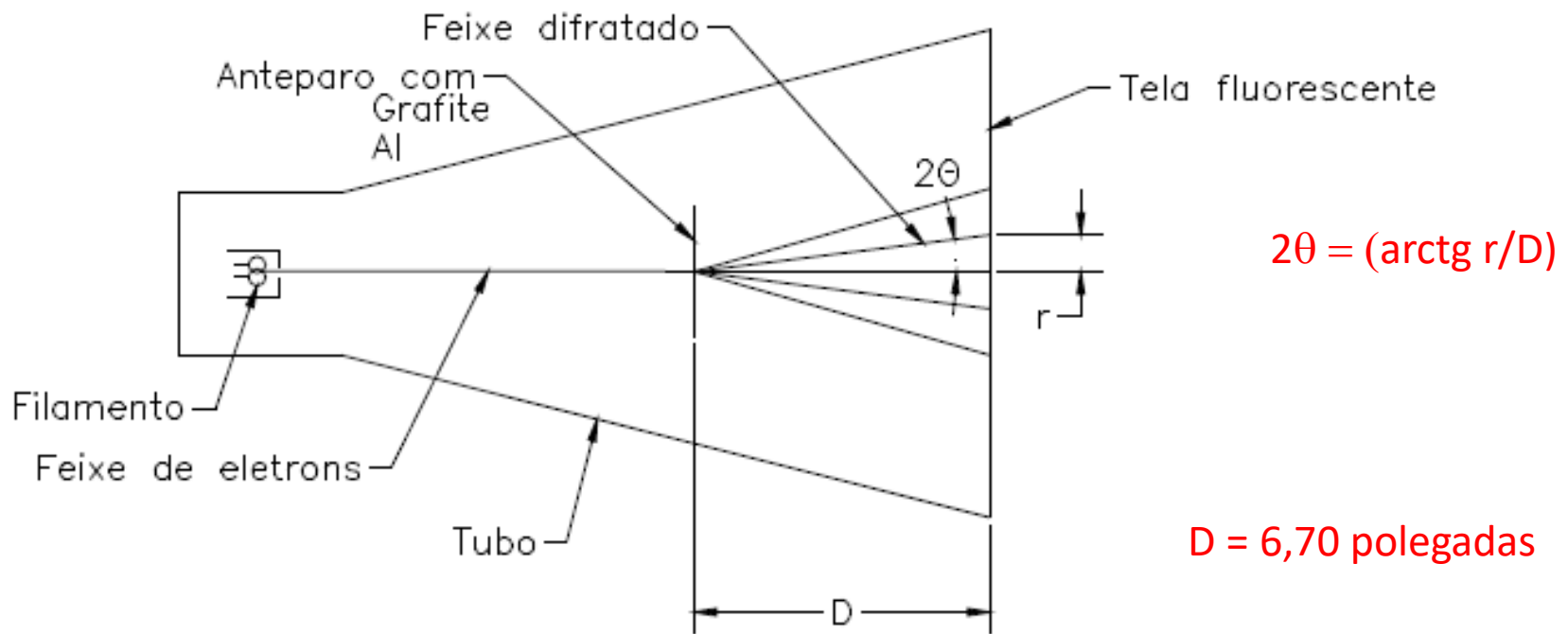
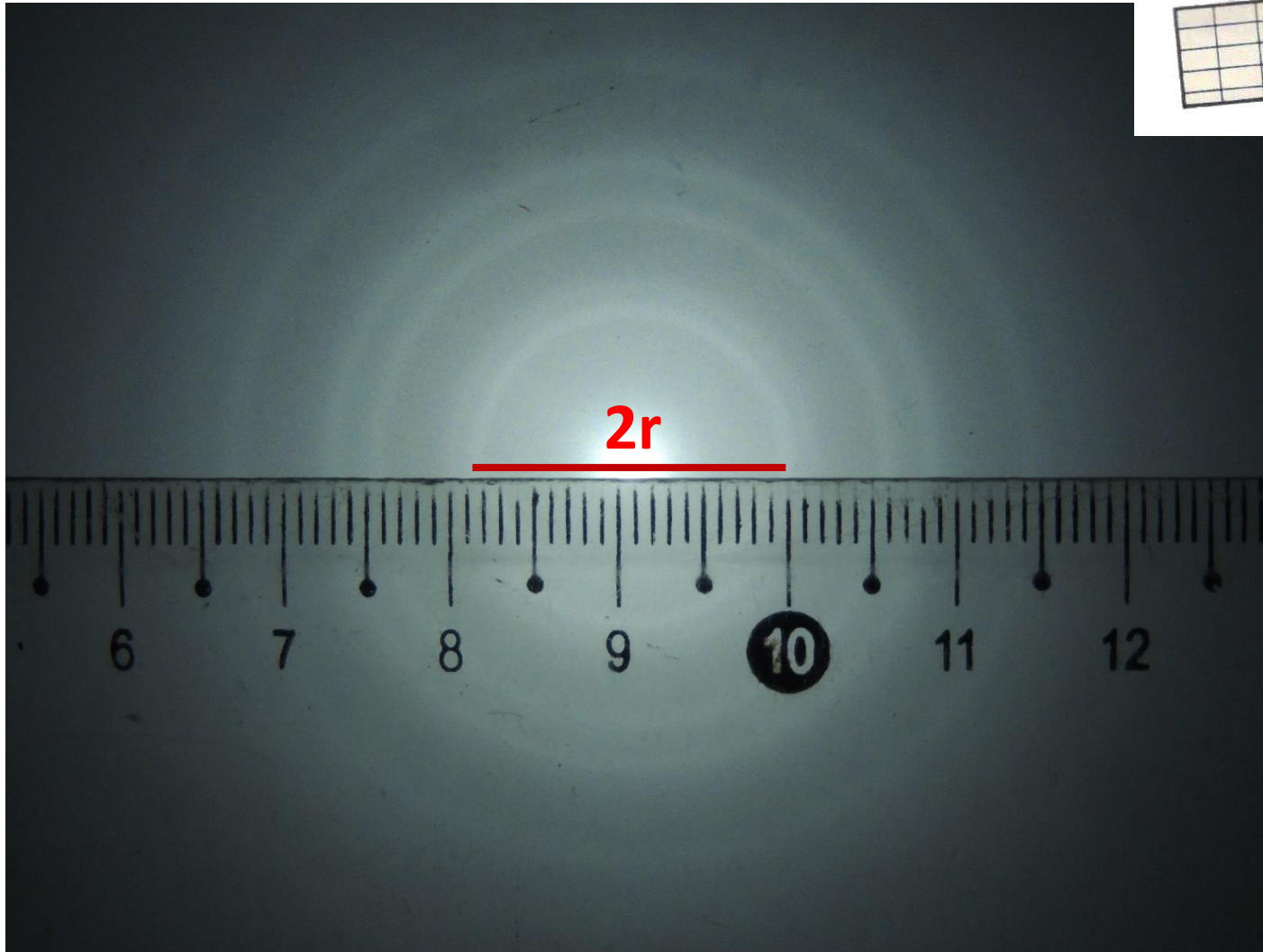
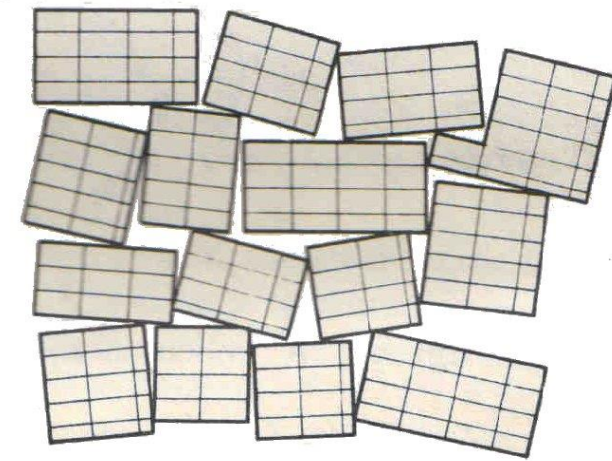


Figura c-1. Tubo de raios catódicos para medida de difração de elétrons.

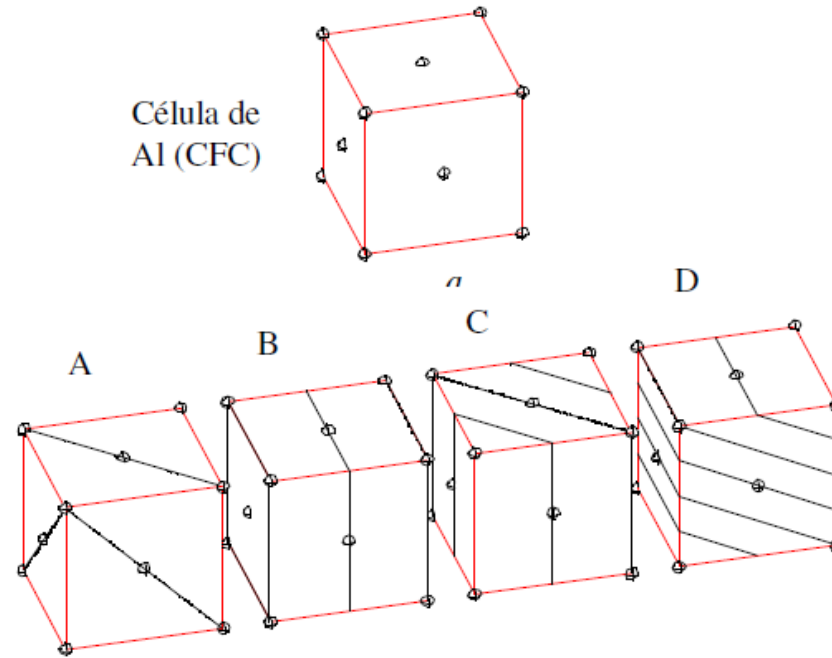
# Policristal de Al



Fórmula de Scherrer

$$t = \frac{0,9\lambda}{B \cos \theta_B}$$

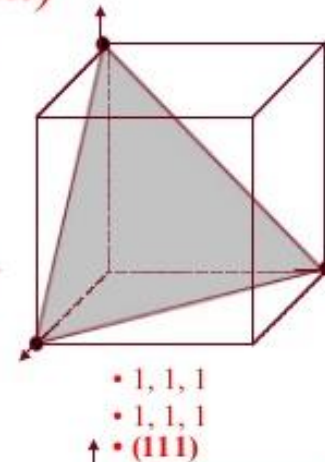
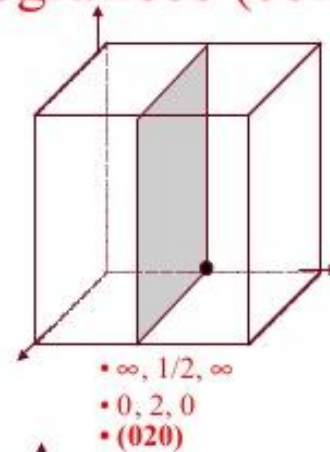
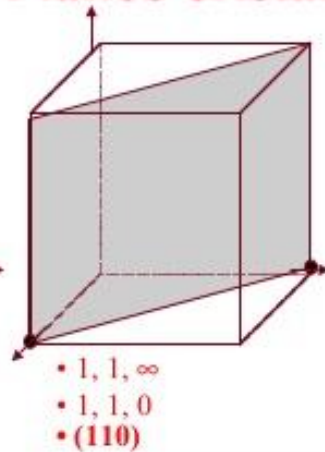
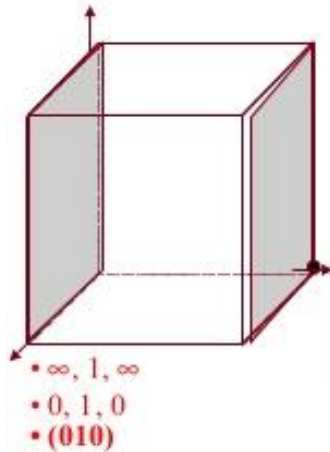
## A estrutura policristalina do alumínio



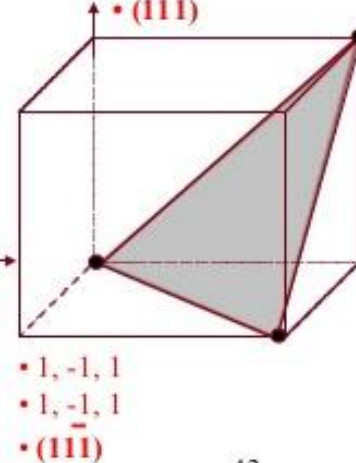
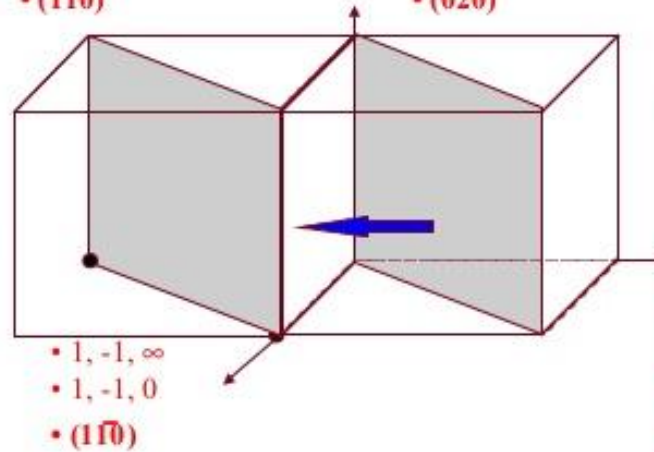
$$n\lambda = 2d \sin\theta$$

Figura c-4 - Célula cúbica de faces centradas e correspondentes famílias de planos cristalinos com  $d$  em ordem decrescente (A,B,C,D).

## Planos cristalográficos (cont.)



Quando as intersecções com os eixos não são óbvias, deve-se deslocar o plano ou a origem até obter as intersecções corretas.



Os ângulos de difração são obtidos de:

$$2\theta = (\text{arctg } r/D)$$

onde  $r$  é a distância entre o ponto de incidência do feixe direto e um ponto de máximo da figura de interferência, medida sobre a tela fluorescente, e  $D$  é a distância entre o alvo e a tela = 6,70 polegadas!

Lei de Bragg :

$$n\lambda = 2d \text{ sen}\theta$$

Tabela c-2 - Parâmetros de um cristal de alumínio (CFC),  $a = (4.04 \pm 0.01) \text{ \AA}$ .

$$d_{hkl} = \frac{a}{\sqrt{h^2 + k^2 + l^2}}$$

$$n\lambda = 2d_{hkl} \sin\theta$$

Família	$d$	$n$	$\frac{2d}{n}$	Ângulo
A	$\frac{a}{\sqrt{3}}$	1	$\frac{2a}{\sqrt{3}}$	$\theta_1$
B	$\frac{a}{2}$	1	$a$	$\theta_2$
C	$\frac{a}{2\sqrt{2}}$	1	$\frac{a}{\sqrt{2}}$	$\theta_3$
D	$\frac{a}{\sqrt{11}}$	1	$\frac{2a}{\sqrt{11}}$	$\theta_4$
A	$\frac{a}{\sqrt{3}}$	2	$\frac{a}{\sqrt{3}}$	$\theta_5$
B	$\frac{a}{2}$	2	$\frac{a}{2}$	$\theta_6$

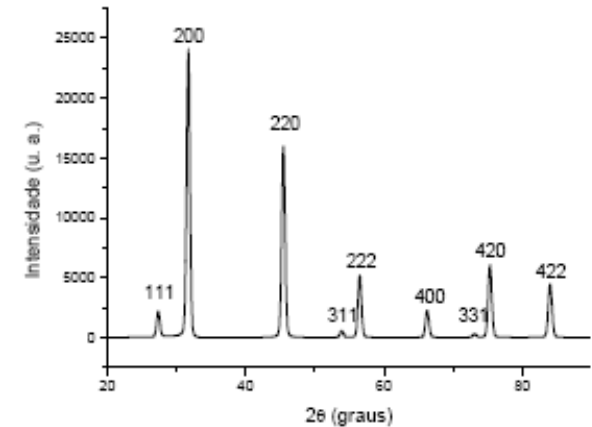


Figura 12. Padrão de difração de pó (difratograma) do NaCl

**Vamos analisar os 4 primeiros halos de difração e determinar  $\lambda$  (para cada halo)**

**Determinar valor médio de  $\lambda$  e respectiva incerteza e comparar com  $\lambda$  de deBroglie (lembrar que tensão de aceleração dos elétrons foi de 10 kV)**



# Cristal de grafite

Pela lei de Bragg:

$$\lambda = \frac{2d \sin(\theta)}{n} \quad (4)$$

onde  $d$  é a distância interplanar de uma certa família de planos cristalinos e  $n$  é a ordem da difração.

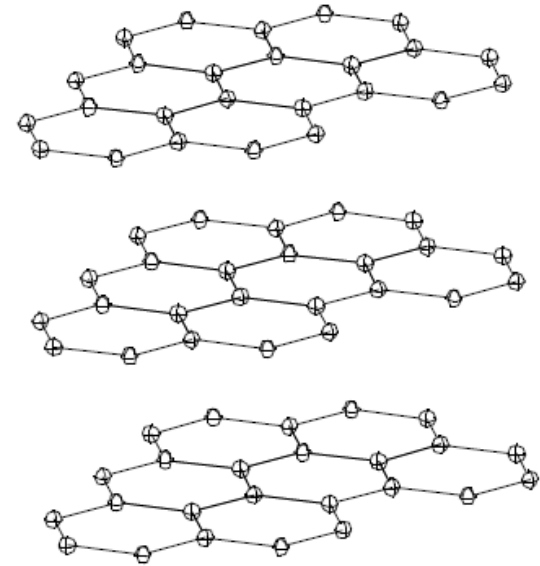
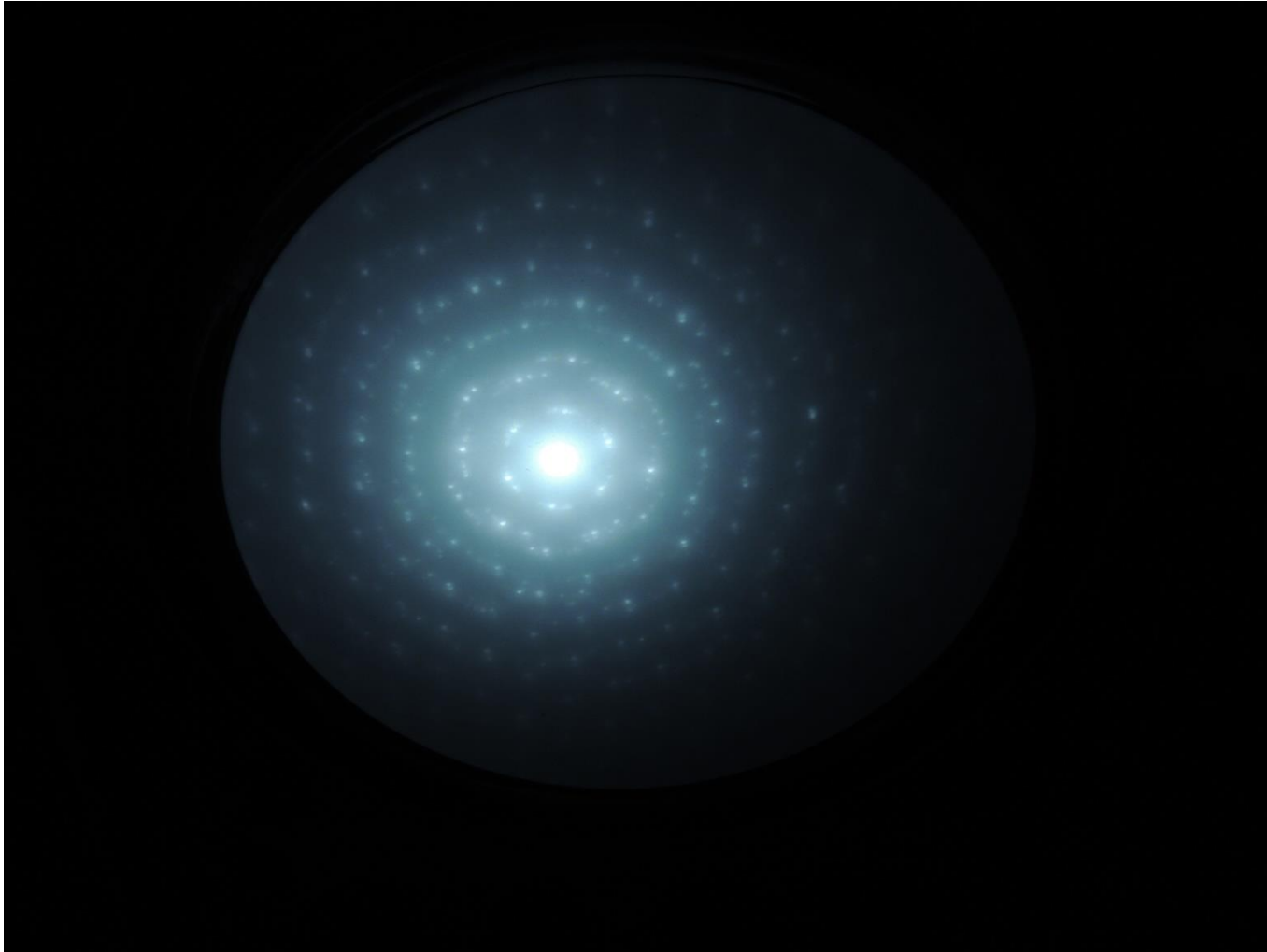


Figura c-2. Camadas de r des hexagonais de um cristal de grafite em perspectiva.

# Cristal de grafite



# Cristal de grafite

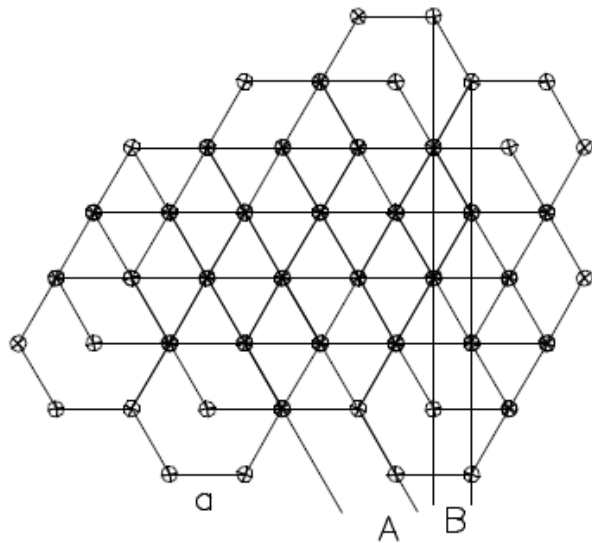


Figura c-3. Vista superior do cristal de grafite mostrando as famílias de planos A e B.

que correspondem aos menores ângulos de difração para um dado  $\lambda$ .

Tabela c-1 - Parâmetros da rede cristalina do grafite,  $a = (2.46 \pm 0.01) \text{ \AA}$  (fig. c-3).

Família	$d$	$n$	$\frac{2d}{n}$	Ângulo
A	$\frac{a\sqrt{3}}{2}$	1	$a\sqrt{3}$	$\theta_1$
B	$\frac{a}{2}$	1	$a$	$\theta_2$
A	$\frac{a\sqrt{3}}{2}$	2	$\frac{a\sqrt{3}}{2}$	$\theta_3$

# Síntese

A análise será feita apenas na imagem para o material policristalino de Alumínio.

- 1) Calcule o comprimento de onda de de Broglie dos elétrons no tubo de raios catódicos (a tensão de aceleração usada foi de 10kV).
- 2) Para os quatro primeiros halos de difração calcule o comprimento de onda de Bragg, com as respectivas incertezas.
- 3) Calcule o valor médio do comprimento de onda de Bragg (com a respectiva incerteza) e compare com o valor do comprimento de onda dos elétrons.